

ОЦЕНКА ОСЕСИММЕТРИЧНОГО НАПРЯЖЕННОГО СОСТОЯНИЯ УГЛЕРОДНОЙ НАНОТРУБКИ, ВНЕДРЕННОЙ В НЕОДНОРОДНУЮ УПРУГУЮ СРЕДУ, ОСНОВАННАЯ НА НЕЛОКАЛЬНОЙ ТЕОРИИ ОРТОТРОПНЫХ ОБОЛОЧЕК

Рассмотрена одностенная углеродная нанотрубка, находящаяся в неоднородной упругой среде, свойства которой изменяются вдоль оси трубки. Трубка находится под действием постоянной осевой силы и испытывает нормальное внешнее давление, зависящее от осевой координаты. Углеродная нанотрубка представляется тонкой ортотропной цилиндрической оболочкой, уравнения для которой записываются с учетом нелокальной континуальной теории Эрингена. Реакция неоднородной упругой среды учитывается в рамках винклеровского основания с коэффициентом постели, зависящим от осевой координаты. Было установлено, что при сжатии трубки осевой силой наибольшее отклонение атомов от исходного положения имеет место в окрестности параллели, на которой реакция окружающей матрицы наиболее слабая.

Ключевые слова: углеродная нанотрубка (УНТ); винклеровское основание; нелокальная континуальная теория Эрингена; основное напряженно-деформированное состояние в УНТ; краевой эффект; параметр нелокальности.

The estimation of membrane stresses in a single-walled carbon nanotube embedded in a nonhomogeneous elastic matrix is performed. The surrounding elastic medium is modeled as Winkler's foundation with a variable spring constant depending on the axial coordinate. The carbon nanotube is represented by a thin orthotropic cylindrical shell, the constitutive equations being written with the use of Eringen's non-local theory of elasticity. The tube is subjected to external normal pressure and axial forces. The axisymmetric strain-stress state is found as the superposition of a membrane stress state and an edge effect generated by the parameter of non-locality.

Key words: carbon nanotube; Winkler's foundation; Eringen's non-local theory of elasticity; membrane stress state; edge effect; parameter of non-locality.

Широкое использование углеродных нанотрубок (УНТ) в качестве армирующих элементов или наполнителей при создании композиционных материалов [1] делает актуальной задачу расчета напряжений, возникающих в трубке под действием внешних сил. Достоверная оценка начальных напряжений в УНТ с учетом особенностей (неоднородностей) в структуре матрицы необходима для решения и других задач, имеющих самостоятельный научный и прикладной интерес: определение прочностных характеристик самой трубки, нахождение критических усилий, приводящих к потере устойчивости в матрице [2, 3], исследование динамических характеристик (собственных частот и форм колебаний) с учетом взаимодействия атомов УНТ и окружающей упругой среды [4]. Например, в работе [4] показано, что наличие ослабляющих включений (молекул инородного вещества) в упругой матрице может порождать аномальные собственные формы колебаний трубки. Данные формы, характеризующиеся сильной локализацией в окрестности некоторой «слабой» линии, возникают при действии растягивающих осевых сил и не свойственны макроразмерным оболочкам [5], контактирующим с упругой средой. Как показано в [4], обнаружение данных мод стало возможным благодаря учету нелокальных эффектов в законе физического состояния [6, 7].

Постановка задачи. Разрешающие уравнения

Рассмотрим одностенную углеродную нанотрубку (УНТ) длиной L и радиусом R , находящуюся в неоднородной упругой среде, свойства которой изменяются вдоль ее оси. Трубка находится под действием постоянной осевой силы T_1^0 и испытывает нормальное внешнее давление $q_3(x)$, зависящее от осевой координаты x .

В работе [8] показано, что независимо от хиральности одностенная УНТ может быть представлена ортотропной упругой оболочкой с погрешностью порядка $O\left[\left(a/R\right)^2\right]$, где $a \approx 0,142$ нм – характерный внутренний размер решетки. Следуя [8, 9], далее будем моделировать УНТ упругой ортотропной цилиндрической оболочкой, имеющей эффективную толщину h с упругими параметрами E_1, ν_1, G , где E_1, E_2 – модули Юнга в направлениях осевой и окружной координат x и φ соответственно, ν_1, ν_2 – коэффициенты Пуассона, характеризующие поперечное сокращение (растяжение) при растяжении (сжатии) в направлениях x и φ соответственно, а G – модуль сдвига. В силу симметрии имеем $E_2\nu_1 = E_1\nu_2$. Соотношения для вычисления упругих параметров в зависимости от диаметра и хиральности трубки представлены в [9].

Реакцию неоднородной упругой среды будем учитывать в рамках винклеровского основания [4] с коэффициентом постели $c_3(x)$. Безмоментные уравнения равновесия УНТ с учетом сил реакции упругой матрицы получаются из общих уравнений равновесия, выведенных в статье [10]. Для случая осесимметричного деформированного состояния они принимают простой вид:

$$\frac{\partial^2 M_1}{\partial x^2} + \frac{T_2}{R} - c_3^* u_3 - q_3^* = 0, \quad \frac{\partial T_1}{\partial x} = 0, \quad (1)$$

где T_1, T_2 – микроскопические мембранные усилия, возникающие в осевом и окружном направлениях соответственно; $u_3(x)$ – нормальный прогиб трубки, моделирующий отклонение атомов от нейтрального положения.

Ставя граничные условия $T_1 = T_1^0$ на краях трубки $x = 0, L$, находим, что мембранное усилие $T_1 = T_1^0$ – постоянная величина в любом ее сечении.

Введем в рассмотрение макроскопические (классические) мембранные усилия $T_1^{(m)}, T_2^{(m)}$, соответствующие микроскопическим напряжениям T_1, T_2 . Согласно нелокальной континуальной теории Эрингена [7] данные напряжения связаны соотношениями

$$\mathfrak{I}(T_1, T_2) = (T_1^{(m)}, T_2^{(m)}), \quad (2)$$

где \mathfrak{I} – дифференциальный оператор, который в случае осесимметричного напряженно-деформированного состояния имеет вид

$$\mathfrak{I} = 1 - (e_0 a)^2 \frac{d^2}{dx^2}, \quad (3)$$

где a – ранее введенные внутренний характерный размер решетки УНТ, а e_0 – материальная константа нелокальности. Согласно Эрингену $e_0 = 0,39$. Однако Л. Судак [11] полагает, что данный параметр должен быть на порядок больше.

Уравнения физического состояния для макроскопической ортотропной цилиндрической оболочки имеют вид [12]

$$T_1^{(m)} = \frac{hE_1}{1-\nu_1\nu_2} \left(\frac{\partial u_1}{\partial x} - \frac{\nu_2}{R} u_3 \right), \quad T_2^{(m)} = \frac{hE_2}{1-\nu_1\nu_2} \left(\nu_1 \frac{\partial u_1}{\partial x} - \frac{u_3}{R} \right), \quad (4)$$

$$M_1^{(m)} = \frac{-h^3 E_1}{12(1-\nu_1\nu_2)} \frac{\partial^2 u_3}{\partial x^2},$$

где u_1 – тангенциальные перемещения точек нейтральной поверхности трубки.

Замечание. Нелокальный закон физического состояния (2) – (4) в дифференциальной форме не учитывает реальные размеры (наличие краев) нанотрубки, а позволяет принять во внимание лишь деформации в окрестности точки, в которой находятся напряжения и которая удалена от ее краев.

Учитывая то, что $T_1 = T_1^0$ – константа, из первого уравнения (4) находим

$$\frac{\partial u_1}{\partial x} = \frac{1-\nu_1\nu_2}{hE_1} T_1^0 + \frac{\nu_2}{R} u_3. \quad (5)$$

Введем следующие обозначения:

$$u_1 = RU, \quad u_3 = RW, \quad x = Rs, \quad \mu = \frac{a}{R}, \quad \mu_1^4 = \frac{h^2}{12R^2}, \quad \mu_1 = \mu\kappa, \quad \kappa \cong 1, \quad (6)$$

$$c_3^* = \frac{hE_1}{R^2(1-\nu_1\nu_2)} c_3, \quad c_3 \cong 1, \quad q_3^* = \frac{hE_1}{R(1-\nu_1\nu_2)} q.$$

Подставляя (4) – (6) в первое уравнение (1), приходим к неоднородному дифференциальному уравнению относительно безразмерного радиального перемещения W :

$$\mu^4 \kappa^4 \frac{d^4 W}{ds^4} + \epsilon \left[W - \nu_1 (t_1^\circ + \nu_2 W) \right] + \Xi_e [c_3 W + q] = 0, \quad (7)$$

где $\Xi_e = 1 - \mu^2 e_0^2 d^2/ds^2$, $\epsilon = E_1/E_2$, $t_1^\circ = (1 - \nu_1 \nu_2) T_1^\circ / (hE_1)$ – безразмерная осевая сила.

Заметим, что при $R = 0,75$ нм величину $\mu = a/R$ можно рассматривать как малый параметр [4]. Таким образом, уравнение (7) есть сингулярно возмущенное дифференциальное уравнение с переменными коэффициентами. Его решение будем искать в виде суперпозиции

$$W = w_0(s) + w_{\text{кр}}(s),$$

где $w_0(s)$ – медленная функция переменной s , описывающая основное напряженно-деформированное состояние в УНТ; а $w_{\text{кр}}(s)$ – интегралы краевого эффекта – функции, быстро затухающие при удалении от краев трубки. Заметим, что данные интегралы не имеют ничего общего с интегралами краевого эффекта, возникающими в макроскопической оболочке и описывающими чисто моментное напряженно-деформированное состояние [13]. Функция $w_{\text{кр}}(s)$ порождается исключительно учетом наноразмерного масштаба (константы e_0 в нелокальном законе физического состояния Эрингена).

Функцию $w_0(s)$ будем искать в виде ряда

$$w_0(s) = w_{00}(s) + \mu^2 w_{02}(s) + \dots \quad (8)$$

Подставляя ряд (8) в уравнение (7) и приравнявая коэффициенты при одинаковых степенях μ , находим

$$w_{00} = \frac{\epsilon \nu_1 t_1^\circ - q}{\epsilon (1 - \nu_1 \nu_2) + c_3}, \quad (9)$$

$$w_{02} = \frac{1}{\epsilon (1 - \nu_1 \nu_2) + c_3} \left[e_0^2 q'' + e_0^2 c_3'' w_{00} + 2e_0^2 c_3' w_{00}' + e_0^2 c_3 w_{00}'' \right]. \quad (10)$$

Штрих в (10) и ниже означает дифференцирование по координате s .

Интегралы краевого эффекта будем искать в виде

$$w_{\text{кр}} = \sum_{k=0}^{\infty} \mu^k w_k^{\text{кр}}(s) e^{\mu \int_0^s \lambda(x) dx}. \quad (11)$$

Подставляя (11) в (7) и приравнявая коэффициенты при степени μ^0 , получим уравнение

$$\kappa^4 \lambda^4 - e_0^2 c_3(s) \lambda^2 + (\epsilon + c_3(s)) = 0, \quad (12)$$

где $\epsilon = \epsilon (1 - \nu_1 \nu_2)$.

Приравнявая коэффициенты при μ^1 , получим дифференциальное уравнение

$$(4\kappa^4 \lambda^3 - 2\lambda e_0^2 c_3(s)) \frac{dw_0^{\text{кр}}}{ds} = (2\lambda e_0^2 c_3'(s) - 6\kappa^4 \lambda' \lambda^2 + c_3 e_0^2 \lambda') w_0^{\text{кр}},$$

из которого определяем

$$w_0^{\text{кр}}(s) = C e^{\frac{-e_0^2}{2} \int_0^s \frac{c_3' ds}{e_0^2 c_3 - 2\kappa^4 \lambda^2}} / \sqrt{\left| \lambda (e_0^2 c_3 - 2\kappa^4 \lambda^2) \right|}. \quad (13)$$

Пусть выполняется условие $e_0^4 c_3^2 - 4\kappa^4 (\epsilon + c_3) \leq 0$. Данное неравенство соответствует тому случаю, когда жесткость УНТ больше жесткости матрицы, в которой она находится. Тогда все корни уравнения (12) будут комплексными:

$$\lambda_1 = b_1(s) + ib_2(s); \lambda_2 = b_1(s) - ib_2(s); \lambda_3 = -b_1(s) + ib_2(s); \lambda_4 = -b_1(s) - ib_2(s),$$

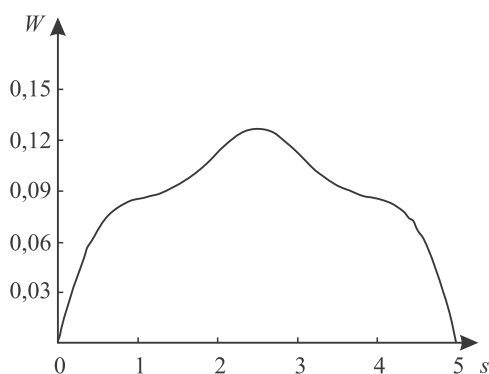
$$b_1(s) = \sqrt{\frac{e_0^2 c_3 + \kappa^2 \sqrt{\epsilon + c_3}}{2\kappa^4}}, \quad b_2(s) = \sqrt{\frac{-e_0^2 c_3 + \kappa^2 \sqrt{\epsilon + c_3}}{2\kappa^4}}.$$

С учетом (8), (13) функция W в первом приближении имеет вид

$$W = w_{00}(s) + \frac{1}{4\sqrt{d_1(s)d_2^2(s)}} e^{\frac{1}{\mu} \int_0^s b_1(x) dx} \left(C_1 e^{\frac{i e_0^2}{2} \int_0^s c_3'(x)/d_1(x) dx} + C_2 e^{-\frac{i e_0^2}{2} \int_0^s c_3'(x)/d_1(x) dx} + o(\mu) \right) +$$

$$+ \frac{1}{\sqrt[4]{d_1(s)d_2^2(s)}} e^{\frac{-1}{\mu} \int_0^s b_1(x) dx} \left(C_3 e^{\frac{i e_0^2}{2} \int_0^s c_3'(x)/d_1(x) dx} + C_4 e^{\frac{-i e_0^2}{2} \int_0^s c_3'(x)/d_1(x) dx} + o(\mu) \right),$$

где $d_1(s) = -(e_0^4 c_3^2 - 4\kappa^4 (\varepsilon + c_3))$; $d_2(s) = \sqrt{\varepsilon + c_3} / \kappa^2$, а константы C_1, C_2, C_3, C_4 определяются из граничных условий.



Зависимость прогиба W от координаты s

Пример. Рассмотрим шарнирно-опертую одностенную углеродную нанотрубку. Граничные условия в данном случае записываются в виде

$$W = W'' = 0 \text{ при } s = 0, l.$$

Были выполнены расчеты для следующих параметров [4, 9]: $E_1 = E_2 = E = 1,058$ ТПа, $\nu_1 = \nu_2 = \nu = 0,270$, $h = 0,31$ нм, $R = 1,5$ нм, $a = 0,142$ нм, $e_0 = 0,39$, $l = 5$, $c_3 = 1 - \beta e^{-\alpha s^2}$, $\beta = 0,5$, $\alpha = 1$, $t_1^0 = 1$, $q = 0$. Распределение безразмерного прогиба W нанотрубки (отклонение атомов от исходного положения) вдоль осевой координаты представлено на рисунке.

Как видно, при сжатии трубки осевой силой T_1^0 наибольшее отклонение атомов от исходного положения имеет место в окрестности параллели, на которой реакция окружающей матрицы является наиболее слабой. Данное обстоятельство не-

обходимо учитывать при дальнейшем исследовании потери устойчивости сжимаемой осевыми силами УНТ, находящейся в неоднородной упругой среде.

БИБЛИОГРАФИЧЕСКИЙ СПИСОК

1. Baughman R. H., Zakhidov A. A., der Heer W. A. Carbon nanotubes – route toward application // Science. 2002. Vol. 297. P. 787–792.
2. Murmu T., Pradhan S. C. Buckling analysis of a single-walled carbon nanotube embedded in an elastic medium based on nonlocal elasticity and Timoshenko beam theory and using DQM // Physica E. 2009. Vol. 41. P. 1232–1239.
3. Ghorbanpour Arani A., Kolahchi R., Khoddami Maraghi Z. Nonlinear vibration and instability of embedded double-walled boron nitride nanotubes based on nonlocal cylindrical shell theory // Appl. Math. Modelling. 2013. Vol. 37. P. 7685–7707.
4. Mikhasev G. I. On localized modes of free vibrations of single-walled carbon nanotubes embedded in nonhomogeneous elastic medium // Z. Angew. Math. Mech. 2014. Vol. 94 (1/2). P. 130–141.
5. Михасев Г. И., Товстик П. Е. Локализованные колебания и волны в тонких оболочках. М., 2009.
6. Eringen A. C. On differential equations of nonlocal elasticity and solutions of screw dislocation and surface waves // J. Appl. Phys. 1983. Vol. 54. P. 4703–4710.
7. Eringen A. C. Nonlocal Continuum Field Theories. New York, 2002.
8. Peng J., Wu J., Hwang K. C., Song J., Huang Y. Can a single-wall carbon nanotube be modeled as a thin shell? // J. Mech. Phys. Solids. 2008. Vol. 56. P. 2213–2224.
9. Chang T. A molecular based anisotropic shell model for single-walled carbon nanotubes // J. Mech. Phys. Solids. 2010. Vol. 58. P. 1422–1433.
10. Михасев Г. И. Уравнения движения многостенной углеродной нанотрубки, основанные на нелокальной теории ортотропных оболочек // Докл. НАН Беларуси. 2011. Т. 55 (6). С. 119–123.
11. Sudak L. J. Column buckling of multiwalled carbon nanotubes using nonlocal continuum mechanics // J. Appl. Phys. 2003. Vol. 94 (11). P. 7281–7287.
12. Амбарцумян С. А. Общая теория анизотропных оболочек. М., 1974.
13. Гольденвейзер А. Л. Теория упругих тонких оболочек. М., 1976.

Поступила в редакцию 16.09.2014.

Геннадий Иванович Михасев – доктор физико-математических наук, профессор, заведующий кафедрой био- и наномеханики.

Марина Георгиевна Ботогова – кандидат физико-математических наук, доцент кафедры био- и наномеханики.

Евгений Сергеевич Филончик – студент 5-го курса механико-математического факультета.